

ПРОБЛЕМЫ ВОДООБЕСПЕЧЕННОСТИ
АРИДНЫХ РЕГИОНОВ

УДК 556.3;550.46;551.50

ФОРМИРОВАНИЕ ХИМИЧЕСКОГО И ИЗОТОПНОГО СОСТАВА
ПОВЕРХНОСТНЫХ ВОД ОТКРЫТЫХ ВОДОЕМОВ БАССЕЙНА
РЕКИ БОДРАК (СЕВЕРО-ЗАПАДНЫЙ СКЛОН КРЫМСКИХ ГОР)¹

© 2022 г. Е. П. Каюкова^a, *, Н. А. Харитонова^b, Е. А. Филимонова^b, М. В. Чарыкова^a

^aСанкт-Петербургский государственный университет,
Санкт-Петербург, 199134 Россия

^bМосковский государственный университет им. М.В. Ломоносова,
Москва, 119991 Россия

*e-mail: erkayu@gmail.com

Поступила в редакцию 23.12.2021 г.

После доработки 16.02.2022 г.

Принята к публикации 28.02.2022 г.

При исследовании основных факторов формирования химического и изотопного состава поверхностных вод открытых водоемов (ставков) бассейна р. Бодрак использованы гидрохимические и изотопные методы. Отдельное внимание отведено изучению дождевых вод, поскольку химический и изотопный состав атмосферных осадков, а также их количество имеют большое значение при изучении геохимических особенностей и водного баланса поверхностных водоемов. Работа базируется на фактическом материале, полученном во время долгопериодических наблюдений: гидрохимический мониторинг проводилось в течении 2003–2007 гг., а изотопное опробование ($\delta^2\text{H}$ и $\delta^{18}\text{O}$) осуществлялось с 2012 по 2018 гг. Анализ данных показывает, что химический и изотопный состав поверхностных вод изучаемой территории зависит от количества атмосферных осадков и паводковых вод, метеоусловий, геолого-гидрогеологической обстановки, обуславливающей притоки подземных вод, и антропогенных факторов.

Ключевые слова: атмосферные осадки, поверхностные воды, химический состав, стабильные изотопы, Горный Крым.

DOI: 10.31857/S0321059622040083

ВВЕДЕНИЕ

Собственные водные ресурсы Крыма весьма ограничены, и их всегда было недостаточно для покрытия питьевых и хозяйственных нужд полуострова. До 2014 г. значительная часть воды (2400 млн м³) поступала по Северо-Крымскому каналу из Днепра и только 500 млн м³ давали местные реки и подземные воды [2].

В настоящее время проблема питьевой воды в Крыму стоит остро как никогда, хозяйственно-питьевое водоснабжение Республики Крым обеспечивается преимущественно из собственных подземных и поверхностных источников. В связи с этим количественные и качественные характеристики существующих на полуострове локальных пресных вод, от которых зависит санитарно-эпидемиологическое благополучие местного на-

селения, нуждаются в тщательном изучении и мониторинге.

В государственном докладе “О состоянии санитарно-эпидемиологического благополучия населения в Республике Крым” за 2019 г. сообщается, что доля населения, получающего качественную питьевую воду по Крыму в целом, составляет 74.1%, однако в Бахчисарайском районе ситуация гораздо лучше – 97.1%. Это связано с тем, что здесь верховья рек, в том числе и истоки р. Бодрак, формируются на необжитых заповедных территориях.

На естественный речной сток действуют в первую очередь метеофакторы – осадки, температура приземного воздуха (влияющая на испарение), роза ветров, а также геоморфологические и геолого-гидрогеологические условия и растительность.

Режим крымских рек – паводочный, для его сохранения и дальнейшего использования в хозяйственно-питьевых целях в долинах рек по балкам и оврагам строят водоемы (местное название –

¹ Работа Н.А. Харитоновой и Е.А. Филимоновой выполнена в рамках Государственного задания ИВП РАН (тема 0126-2021-0001, государственная регистрация 121040700170-9).

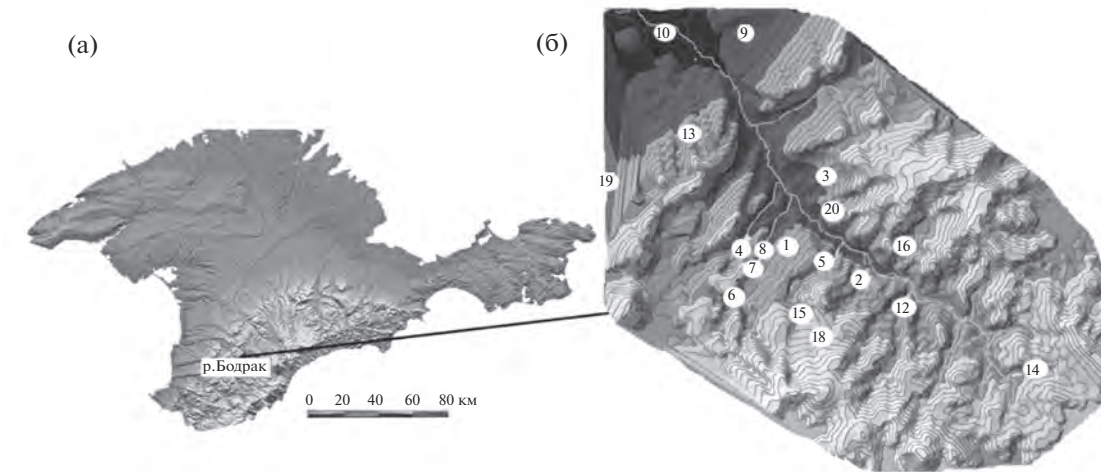


Рис. 1. Район работ: а – обзорная карта; б – рельеф бассейна р. Бодрак с точками опробования открытых водоемов (ставков). Водоемы: 1 – Воронежский (на склоне г. Патиль), 2 – Ексиментий, 3 – Колхозный, 4 – Ленинградский (Шары), 5 – Мангушский, 6 – Мендер (верховья Московского оврага), 7 – Мендер (A), 8 – Мендер (B), 9 – Мраморный, 10 – Скалистое (у дороги), 12 – Широкий Яр, 13 – Корабелка, 14 – Кагульчик, 15 – Юркин (под г. Шелудивой), 16 – Музачи (Музаран), 18 – Верхнесадовый, 19 – Глубокий Яр, 20 – Аммонитовый.

ставки). Эти воды играют важную роль в гидрологическом цикле.

В настоящее время, когда водохозяйственный комплекс Крыма ориентируется на собственные ресурсы, изучение формирования химического и изотопного состава природных вод приобрело особое значение. Знания об условиях формирования и механизмах трансформации химического состава водных ресурсов территории дает возможность проводить полноценную оценку качества хозяйственно-питьевых вод [12], выявлять очаги загрязнения и природные аномалии. Сведения об изотопном составе природных вод позволяют прогнозировать отдельные трудно поддающиеся измерениям элементы водного баланса (такие, как испарение и подземный сток), изучать климатические изменения, вносить корректизы при управлении водными ресурсами территории.

Первые гидрохимические исследования подземных и поверхностных вод в восточной части Бахчисарайского района Крыма проводились преподавателями Московского государственного университета в конце 1990-х гг. Содержания основных анионов и катионов были получены объемным методом (натрий и калий суммарно расчетным путем) [18]. Существенный вклад в изучение пресных вод, используемых в питьевых целях, внесли Т.А. Барабошкина и В.Ю. Березкин при эколого-геологическом картографировании бассейна р. Бодрак [3].

К началу XXI в. полигон, хорошо изученный в геологическом отношении, был существенно не дообследован в гидрогеологическом отношении.

К этому времени появилась потребность не только в понимании гидрогеологических условий, но и в оценке качества пресных вод, используемых в питьевых целях. С 1998 г. на постоянной основе преподавателями и студентами Санкт-Петербургского государственного университета проводится комплексное изучение природных вод бассейна р. Бодрак, ведется мониторинг их экологического состояния [8, 10, 22].

В начале 2000-х гг. впервые были получены данные по концентрациям целого ряда микрокомпонентов и соединений азота в пресных водах района с использованием современных инструментальных методов.

РАЙОН ИССЛЕДОВАНИЯ

Район исследования находится на северо-западных склонах Крымских гор в долине р. Бодрак, протекающей в пределах Бахчисарайского района Крыма мимо с. Трудолюбовка и пос. Скалистого до пос. Новопавловка, где она впадает в р. Альму, текущую на З к Черному морю (рис. 1). В зависимости от направления стока поверхностных вод все реки Крымского п-ова делятся на пять групп; р. Альма относится к рекам северо-западных склонов Крымских гор, впадающих в Черное море.

Горная часть Крымского п-ова представляет собой три гряды, протянувшиеся с ЮЗ на СВ вдоль берега Черного моря. Крымское предгорье – Вторая (Внутренняя) и Третья (Внешняя) гряды – окаймляет Главную гряду с северной стороны.

Предгорья – область питания артезианских бассейнов равнинного Крыма. Протяженность Внутренней гряды – 125 км, средние высоты – 400–600 м, протяженность Внешней гряды – 114 км, средние высоты – 200–300 м [2].

В пределах Второй (Внутренней) гряды преобладает структурный куэстовый рельеф, обусловленный эрозионным расчленением мел-палеогеновых песчано-глинистых и карбонатных отложений различной прочности, широко развиты холмы, столовые плато, овраги, малые реки и временные водотоки. Наибольшую высоту в юго-западном Крыму имеет г. Сель-Бухра (656 м) [13], относительные превышения достигают 100 м. Внутренняя и Внешняя гряды отделены друг от друга Северным эрозионно-аккумулятивным межгрядовым понижением, возникновение которого обвязано врезанием в мягкие породы верхнего эоцена боковых притоков, пересекающих понижение в поперечном направлении.

Бассейн р. Бодрак занимает площадь в пределах Внутренней предгорной гряды Крымских гор и Южного эрозионно-денудационного межгрядового понижения на северо-западном крыле Качинского поднятия. Вторая гряда представляет собой хребет с куэстовым рельефом, расчлененный речными долинами, оврагами и балками.

Южное межгрядовое понижение – сложная сеть оврагов и балок, сформированных в результате глубокой эрозии песчано-сланцевых триасово-юрских и частично среднеюрских отложений, обнажающихся на северных склонах Главной гряды [14].

Истоки р. Бодрак формируются на юго-западных склонах хребта Азарпсырт (абс. отм. – 560 м) и северных склонах г. Вольской (абс. отм. – 486 м). Рельеф здесь холмистый, расчлененный многочисленными оврагами и балками постоянных и временных водотоков, преобладают узкие водоразделы. Русло р. Бодрак линейно вытянуто с уклоном в верхнем течении 28‰, заложение долины происходило преимущественно по зонам трещиноватости и тектонических нарушений.

Все крымские реки зарегулированы. В долинах рек существуют водохранилища и ставки (пруды) – небольшие искусственно созданные водоемы сезонного регулирования для накопления и сохранения дождевых и паводковых вод с целью дальнейшего использования в водохозяйственных целях. Ставки в местных условиях строят главным образом путем перегораживания балок, наполнение их осуществляется за счет стока воды с водосборной поверхности в период весеннего снеготаяния и интенсивных дождевых осадков.

Ставки имеют специальные конструкции, которые позволяют при необходимости (в засушливый период) сливать воду и таким образом питать подрусловой поток р. Бодрак. Это в свою очередь

отражается на уровне воды в местных водозаборных сооружениях.

Общая площадь зеркала водоемов (ставков) бассейна р. Бодрак ~30 га. Существует около двух десятков водоемов сезонного регулирования, наиболее значительные из них – Мангушский, Воронежский, Широкий Яр, Ексиментий, Мендер, Колхозный, Юркин, Кагульчик. В них собирается большая часть поверхностного стока зимне-весеннего периода, которая может использоваться в маловодные летне-осенние периоды. Дополнительно у преобладающей части водоемов существует подземный тип питания.

Самый крупный ставок – Мраморный (или Марсианское озеро) – весьма интересный гидрогеологический объект. Водоем образовался в 1999 г. в бывшем карьере нуммулитовых известняков. В 1990-х гг. здесь шла добыча инкерманского известняка, разработка проводилась открытым способом, трещинные воды, поступающие в карьер в процессе резки блоков, периодически откачивали.

В настоящее время Мраморный ставок используется в рекреационных целях. Водоем представляет собой прямоугольник размером 200 × 400 м, средняя глубина его 15–18 м. С глубиной температура воды резко понижается (до 3–5°C) за счет действующих на глубине многочисленных источников, самый мощный из которых функционирует в юго-восточной части водоема. Озеро зимой никогда не замерзает. Вмещающие отложения представлены слабо закарстованными массивными органогенными нуммулитовыми известняками лютетского яруса среднего эоцена.

Геолого-гидрогеологические условия

Исследуемая территория находится в зоне сочленения двух основных региональных тектонических структур Крымского п-ова – Горно-Крымского складчатого сооружения и эпигерцинской Скифской платформы [1].

Нижний структурный этаж (ядро Качинского поднятия) сложен триасово-юрскими интенсивно дислоцированными комплексами. В составе нижнего структурного этажа выделяют три структурно-фациальные подэтажа: один представлен сложноскладчатыми флишами (в основном опрокинутого залегания) таврической серии (T_3-J_1), второй – тектонически раздробленными флишидами (T_3-J_1), третий – дислоцированным вулканогенно-осадочным комплексом (J_2b) мощностью >1500 м (рис. 2).

Верхний структурный этаж (северо-западное крыло Качинского поднятия) с резким угловым несогласием перекрывает нижний. В целом это моноклиналь, сложенная терригенно-карбонатными породами мелового и палеогенового воз-

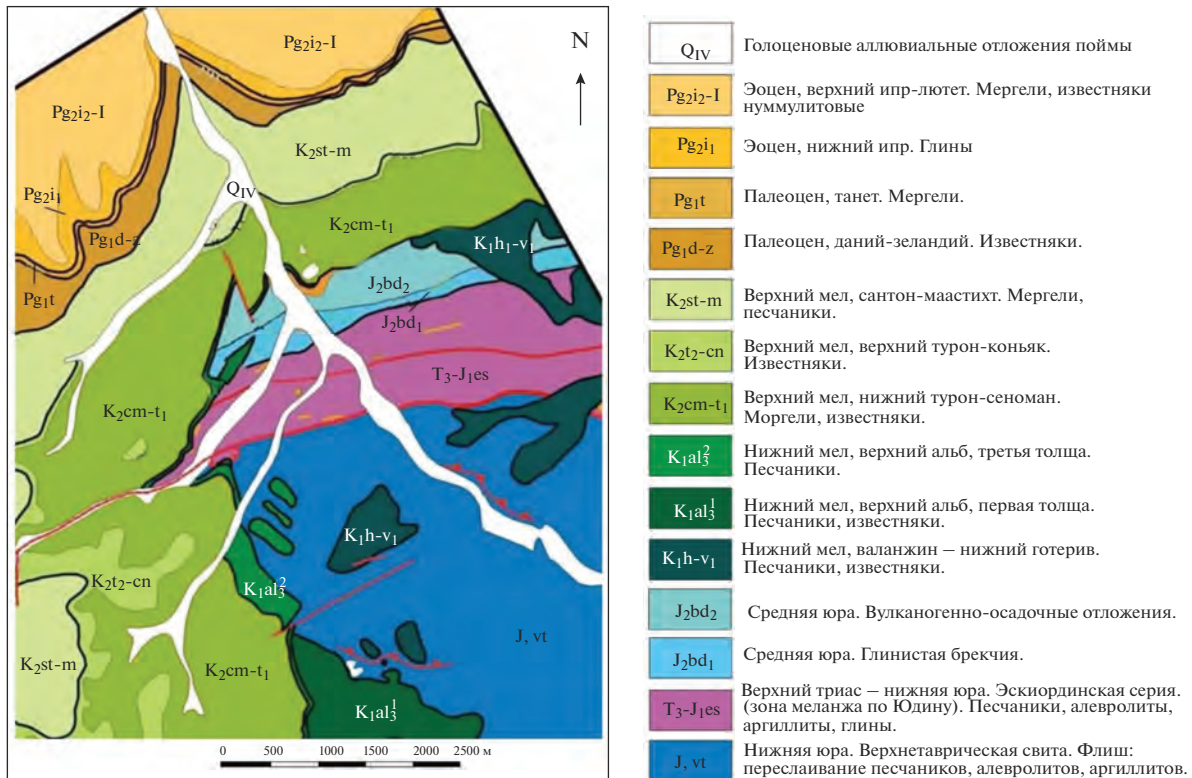


Рис. 2. Геологическая схема района исследования, по материалам [4].

растя, падающая полого на СЗ под углами 8°–12°. В структуре этажа наблюдается ряд угловых и азимутальных несогласий.

Главная гряда служит внешней областью питания артезианских бассейнов Равнинного Крыма. Внутренняя и Внешняя гряды расположены в краевых частях южных крыльев артезианских бассейнов, они играют роль внутренней области питания. Внутренняя гряда сформирована породами мел-палеогенового возраста (известняки, мергели, глины); Внешняя гряда – отложениями неогенового возраста. Обе гряды имеют характерный куэстовый рельеф.

В.В. Юдина здесь выделены коллизионные швы (сутуры): Предгорная мезозойская и Северо-Крымская палеозойская. Асимметричные гряды в Крымском предгорье из слабодислоцированных толщ мел-неогенового возраста названы Куэстовой моноклиналью [23].

Климат

По данным метеостанции г. Симферополя, за последние 40 лет температура воздуха менялась в среднем на +0.3°C каждые 5 лет, что связано с глобальными климатическими изменениями; вероятно, в ближайшие годы тенденция сохранится.

На рис. 3 показаны метеоданные (среднегодовые значения температуры приземного воздуха и среднегодовые суммы осадков, доли от годовой нормы, %) за последние 20 лет.

За норму годового количества осадков взяты их среднегодовые величины за 130 лет наблюдений на метеостанции г. Симферополя (524 мм) [15]; за климатическую норму температуры – среднее ее значение за период 1961–1990 гг. (+10.3°C) [6].

В течение четырех лет после 2014 г. метеоусловия в Крыму благоприятствовали формированию естественного стока. Однако в 2019 г. осадков выпало на 20% меньше нормы, и это отразилось на формировании объема естественных водных ресурсов: снега и жидких осадков оказалось недостаточно для полноценного заполнения водохранилищ естественного стока и многочисленных ставков в предгорьях Крыма.

В крымском Предгорье в последние десятилетия наблюдаются рост потепления и колебание увлажнения территории (причем благополучных по водности лет случается гораздо меньше). В последнее десятилетие температура приземного воздуха держится на 20% выше нормы 1961–1990 гг. с устойчивой тенденцией к увеличению на 1.5–2.0% в год (рис. 3), по данным метеостанции г. Симферополя [15].

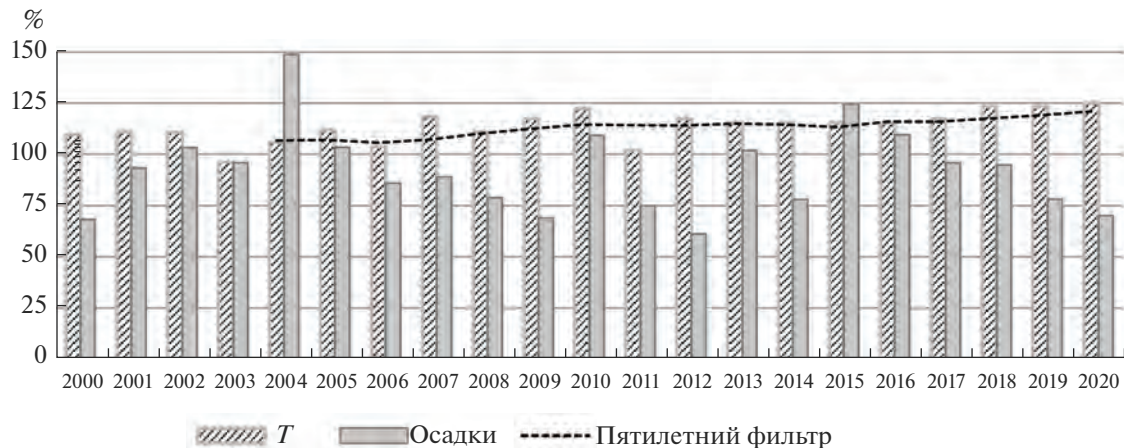


Рис. 3. Изменение температуры приземного воздуха T и количества осадков за период 1961–1990 гг., % нормы (по данным метеостанции г. Симферополя, индекс 33946 [15]).

МАТЕРИАЛЫ И МЕТОДЫ

В работе представлены данные по химическому и изотопному составу поверхностных вод открытых водоемов. С 2003 по 2007 г. было проведено 34 опробования поверхностных вод из ставков бассейна р. Бодрак на микро- и макрокомпоненты. Изучение изотопного состава проводилось с 2012 по 2018 г. Все опробования проводились в летний сезон.

Температура и pH были измерены с использованием портативных приборов фирмы “HANNA” непосредственно у водопunkта. Пробы воды на макрокомпоненты отбирались в пластиковые бутылки объемом 1.0–1.5 л. Концентрации Cl^- , HCO_3^- измерены в лаборатории базы СПбГУ в Крыму объемным методом. Содержание SO_4^{2-} определяли: весовым методом в лаборатории кафедры гидрогеологии СПбГУ и методом турбидиметрии на портативном колориметре DR/890 Hach. Содержание микрокомпонентов (29 компонентов) и основных катионов определяли методами ICP AES (атомно-эмиссионный спектрометр ICAP61E) и ICP MS (масс-спектрометр “Agilent 7500”) в лаборатории ГУП “Водоканал”. Пробы предварительно консервировали азотной кислотой из расчета на 50 мл пробы 1 мл азотной кислоты (2%).

Определение изотопного состава водорода и кислорода выполнялось в лаборатории изотопной геологии флюидов (ЛИГФ) СПбГУ и рентгенодифракционных методов исследований (РДМИ) Научного парка СПбГУ. Для измерений использовался лазерный анализатор изотопного состава воды “Picarro L-2120-I”. Погрешность измерений составляет $\pm 0.1\%$ по $\delta^{18}\text{O}$ и $\pm 1\%$ по δD . В качестве стандартов использованы внутрилабораторные образцы сравнения, привязанные к стандар-

там МАГАТЭ V-SMOW-2, GISP и SLAP. Пробы воды для изотопного анализа отбирались в пробирки 10–20 мл.

ХИМИЧЕСКИЙ СОСТАВ

Химический состав открытых водоемов (ставков) бассейна р. Бодрак зависит от ряда факторов – состава атмосферных осадков, паводковых вод, метеоусловий в течение года, подземных вод, антропогенных факторов.

Ионный состав атмосферных осадков характеризуется пестротой, однако в летние месяцы главную роль из анионов играют гидрокарбонаты, а из катионов – обычно кальций (90% всех изученных проб). Средние эквивалентные концентрации имеют следующую последовательность: для анионов – $\text{HCO}_3^- > \text{SO}_4^{2-} > \text{Cl}^- > \text{NO}_3^-$, для катионов – $\text{Ca}^{2+} > (\text{Mg}^{2+} \text{ или } \text{Na}^+) > \text{K}^+$.

Среди всех макрокомпонентов только содержания кальция в наибольшей степени зависят от продолжительности и интенсивности выпадения осадков (что связано с запыленностью атмосферы в летний период). Его концентрации ощутимо меняются при пересчете на средневзвешенные количества, так как короткие летние дожди более минерализованы за счет наличия пылеватых частиц в атмосфере [7].

Исследованные воды открытых водоемов имеют низкую минерализацию, варьирующую от 0.1 до 0.8 г/л (табл. 1), которая сильно колеблется даже в пределах одного ставка в зависимости от сезона и года опробования. Наименее минерализованный – ставок Кагульчик в верховьях р. Бодрак. Минерализацию поверхностных вод обуславливают главным образом количество атмосферных осадков, выпавших за гидрологический год, тем-

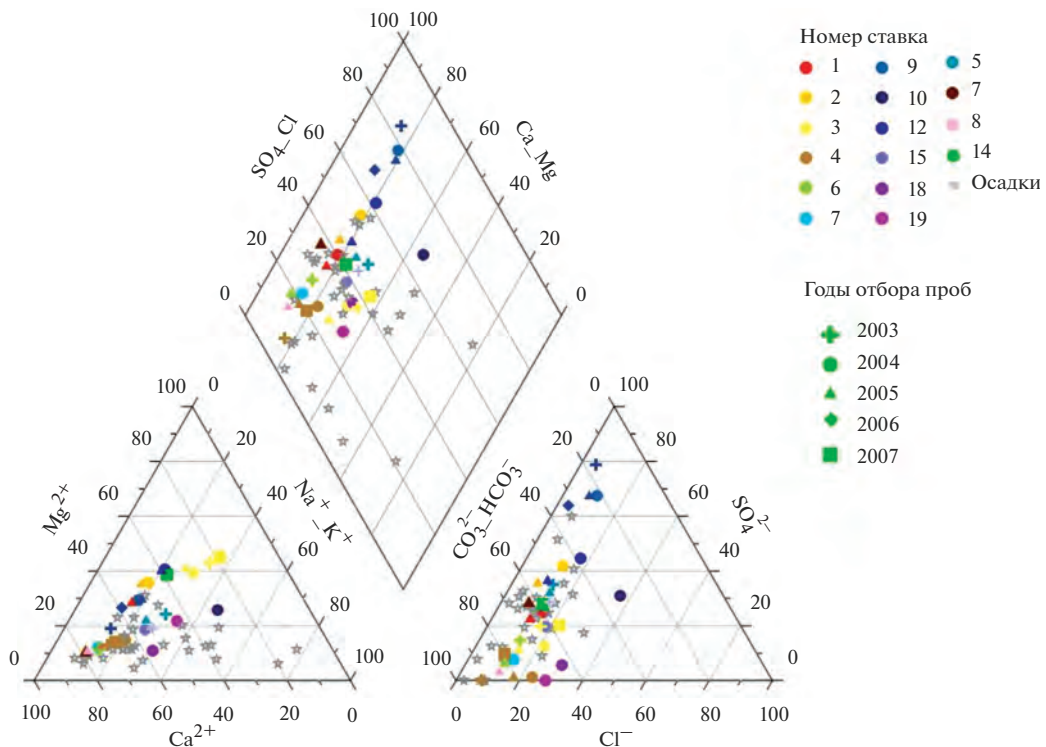
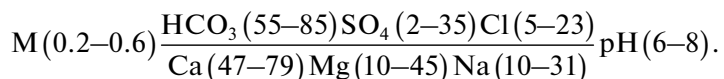


Рис. 4. Химический состав дождевых и поверхностных вод на диаграмме Пайпера. Номера точек опробования соответствуют водоемам на рис. 1 и в табл. 1.

пература в летний период (обеспечивающая испарение) и притоки подземных вод.

pH изученных вод меняется от 5.40 до 8.54, и минимальное значение зафиксировано в ставке Воронежском в 2005 г. В целом, воды всех ставков — нейтральные или слабощелочные.

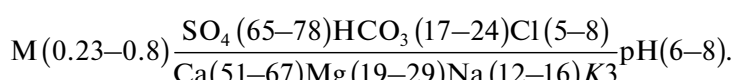


В ставках, расположенных ближе к верховьям р. Бодрак, содержание ионов Mg (в эквивалент-процентах) выше, чем в ставках, расположенных в среднем течении реки. В ставке Кагульчик, расположенном в верховьях, концентрации Mg²⁺ и Ca²⁺ равны.

Химический состав поверхностных вод представлен на диаграмме Пайпера (рис. 4), из которой видно, что фигуративные точки ставков и

по своему ионному составу поверхностные воды ставков разнообразны, в большинстве своем это воды умеренно жесткие сульфатно-гидрокарбонатного магниево-кальциевого или гидрокарбонатно-кальциевого состава:

атмосферных осадков располагаются в одной области. Это указывает на идентичность их химического состава и свидетельствует о преобладании дождевого питания в водном балансе водоемов. На общем фоне выделяются воды Мраморного ставка, расположенного в бывшем карьере нуммулитовых известняков (п. Скалистое). Здесь в анионном составе преобладают сульфаты:



Практически двухкратное превышение содержаний сульфат-иона по сравнению с другими во-

доемами бассейна р. Бодрак объясняется значительной долей подземного питания — за счет

Таблица 1. Макрокомпонентный состав открытых водоемов бассейна р. Бодрак

Код точки	Дата опробования	Место отбора пробы	рН	Минерализация (расчетная)	Жесткость	SO ₄ ²⁻	HCO ₃ ⁻	Cl ⁻	Na ⁺	K ⁺	Ca ²⁺	Mg ²⁺	NO ₃ ⁻	МГ/Л
1	01.06.2003 10.07.2004 11.07.2005	Воронежский	8.20 8.54	— 0.24	3.60 2.74	— 40.31	— 122	17.7 17.0	15.0 152.5	1.7 1.4	49.0 42.0	14.0 13.0	3.9 25.2	—
2	01.06.2004 03.07.2005	Ексиментий	7.93 7.30	0.44 0.61	3.17 7.11	40.10 125.04	170.8 292.8	28.4 24.9	25 31.0	1.4 2.0	42.0 83.0	13.0 36.0	— 2.5	—
3	01.06.2003 01.06.2004 11.07.2005	Колхозный	8.40 8.36 6.50	0.62 0.57 0.56	5.62 5.48 5.44	78.82 48.22 38.71	329.4 317.2 341.6	51.1 60.28	57.0 47	1.8 15.0	57 40.0	44.0 44.0	23 23	6.88
	01.07.2007	—	0.45	4.02	60.64	219.6	51.12	44.3	14	1.0	48.0	37.0	70.0	—
4	01.06.2003 01.06.2004 11.07.2005 05.07.2007	Ленинградский	7.70 7.41 6.00	— 0.16 0.22	2.06 1.67 2.50	— 1.14 0.80	170.8 97.6 146.4	8.5 17.7 18.8	9.2 10 9.9	0.2 0.66 0.8	35.0 27 43.0	3.8 3.9 4.2	32.5 32.5 14.2	—
5	01.06.2003 01.06.2004	Мантуш	8.20 8.22	0.50 0.38	4.84 4.12	114.87 178.60	219.6 48.8	31.2 42.5	36.0 28	0.2 15	64.0 18.0	20.0 15	29 11	—
6	01.06.2003 01.06.2004	Мендер	7.44 7.59	0.33 —	3.74 6.20	29.66 —	195.2 366	19.9 31.9	13.0 15	0.2 0.95	64.0 110	20.0 16	29 24.1	—
	03.07.2005	—	7.00	0.54	5.51	110.56	244.0	35.9	32.0	1.0	79.0	19.0	26.6	—
7	01.06.2004 11.07.2005	Мендер (A)	7.50 7.00	0.37 0.52	4.18 6.17	17.83 93.45	231.8 268.4	24.8 22.0	15 17.0	2.7 1.0	65.0	6.0	41	—
8	27.07.2005	Мендер (B)	7.00	0.47	5.37	7.32	317.2 10.22	28.0 122.0	15.0 19.9	1.5 33.0	100.0	110.0	8.2	6.3
9	01.06.2003 01.06.2004	Мраморный	8.10 8.20	0.58 0.63	8.10 7.56	264.4 299.51	122	35.5	32	1.3	72	7.1	8.1	—
	03.07.2005	—	7.00	0.56	6.58	262.59	122.0	25.6	31.0	1.5	95.0	100.0	8.2	2.7
10	01.06.2004	Скалистый	—	0.51	6.01	231.23	122	19.88	26	9.3	79	25	—	—
12	01.06.2004	Широкий Яр	7.80	0.36	4.14	109.56	146.4	95.7	73	6.4	43	23	—	—
14	30.06.2007	Кагульчик	—	0.50	4.04	112.46	122	31.9	24	2.3	40	26	—	—
15	01.06.2003	Юркин	7.45	0.52	5.12	95.87	244.0	38.3	38.0	12.0	76.0	16.0	12.4	—
18	01.06.2004	Верхнесадовый	7.00	0.52	5.27	67.04	268.4	46.1	35	12	79	16	14.3	—
19	01.06.2004	Глубокий Яр	8.38	0.60	5.55	21.91	317.2	88.6	48	20	93	11	—	—
		—	—	2.47	—	170.8	39	17	21	33	10	10	—	—

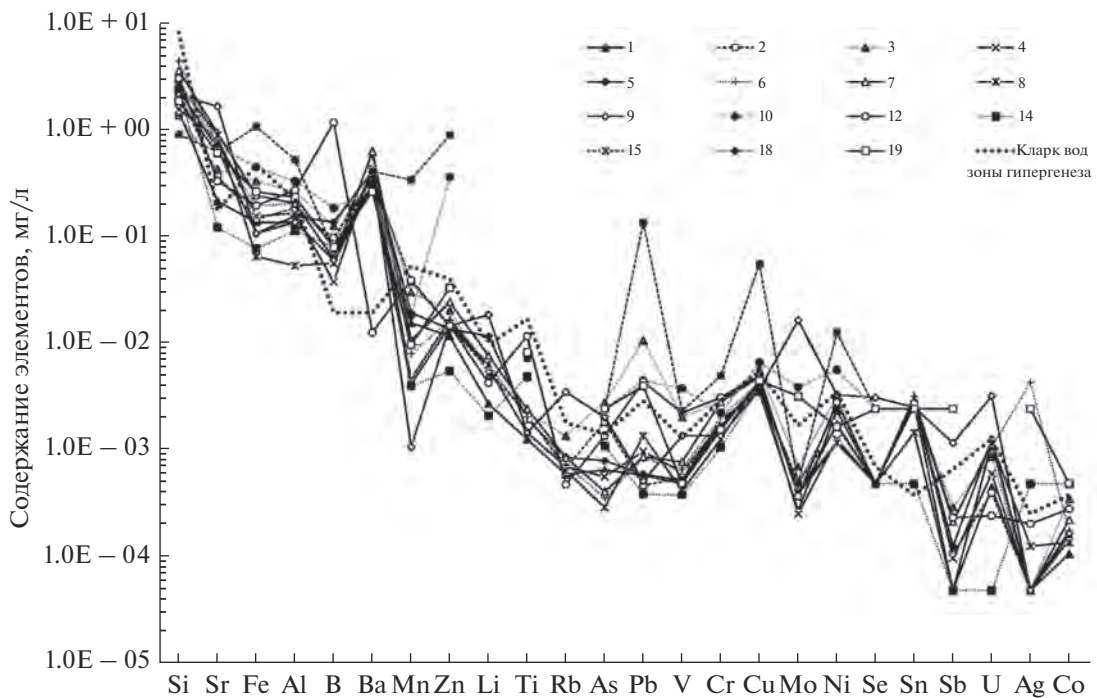


Рис. 5. Содержание отдельных компонентов в поверхностных водах открытых водоемов исследованной территории. Данные опробования 2005 г. Линия кларка элемента в водах зоны гипергенеза построена по данным работы [21]. Номера точек соответствуют данным табл. 1 и рис. 1.

трещинно-жильных вод известняков среднего єоценса.

Особое место на диаграмме занимает ставок, расположенный у трассы в нижнем течении р. Бодрак у пос. Скалистого (точка 10), за счет повышенной доли хлорид-иона (относительно концентраций в других водоемах). Этот ставок испытывает серьезную антropогенную нагрузку (на это указывает геохимическая ассоциация, речь о которой пойдет далее), и хлориды в данном водоеме имеют техногенное происхождение.

Содержание нитратов в водах практически всех ставков на изучаемой территории ниже нормативов качества воды водных объектов рыбохозяйственного значения [16, 17]. Лишь в Колхозном ставке выявлено однократное превышение в 2 раза (табл. 1) при ПДК 40 мл/л, что объясняется периодическими сливами со свинофермы, которая располагается непосредственно у водоема. При этом в большинстве ставков концентрации нитратов выше фоновых в 3–4 раза, и это характерно для сельскохозяйственного района.

Микроэлементный состав исследованных вод весьма разнообразен и приведен в табл. 2 и на рис. 5. Каждый ставок характеризуется водой с индивидуальным набором микрокомпонентов, который контролируется преимущественно локальным геолого-гидрогеологическим строением

территории, где располагается открытый водоем, количеством осадков и величиной испарения.

Концентрации кремния в исследуемых водоемах невысокие, средние значения составляют 2.7 мг/л и варьируют в широких пределах (0.5–7 мг/л): минимальные значения обнаружены в ставке Колхозном, а максимальные в ставке Мендер. В целом, концентрация кремния в водах ставков ниже, чем кларк кремния в водах зоны гипергенеза (8.36 мг/л) (рис. 5). Проведенный мониторинг в течение нескольких лет показывает, что содержание кремния меняется в зависимости от года опробования и места локализации открытого водоема. Максимальные концентрации кремния выявлены во всех ставках в пробах, отобранных в 2004 г. (табл. 2).

Концентрации бора в исследуемых водоемах невысокие – от 0.02 до 1.2 мг/л при среднем значении 0.15 мг/л, которое выше, чем кларк элемента в водах зоны гипергенеза (0.02 мг/л) (рис. 5). Концентрации этого элемента 1.2 и 1.0 мг/л, превышающие ПДК для водных источников (0.5 мг/л), обнаружены в водах двух ставков – Широкий Яр и Юркин соответственно. Источники повышенных концентраций B^{3+} в этих ставках – вероятно, подземные воды, извлекающие бор из осадочных водовмещающих толщ.

Содержания железа сильно варьируют в зависимости от точки и года опробования, но, в це-

Таблица 2. Микрокомпонентный состав открытых водоемов бассейна р. Болдак

Код точки	Дата опробования	МКТ/Л										МКТ/Л													
		Si	Sr	Fe	Al	B	Va	Mn	Zn	Li	Ti	Rb	As	Pb	V	Cr	Cu	Mo	Ni	Se	Sn	Sb	U	Ag	Co
1	01.06.2003	1.2	0.28	0.20	0.11	0.061	0.02	0.016	0.056	—	5.0	—	2.5	0.5	0.5	1.2	0.5	1.6	2.5	2.5	—	—	2.5	1.1	
	10.07.2004	2.7	0.22	0.03	0.15	0.065	0.01	0.002	0.022	—	1.9	—	2.5	0.5	0.5	4.0	0.5	0.5	2.5	2.5	—	—	2.5	0.5	
	11.07.2005	1.5	0.22	0.14	0.14	0.062	0.33	0.016	0.012	2.8	1.3	0.6	0.7	0.6	0.5	2.0	3.6	0.28	2.4	0.5	2.5	0.5	0.46	0.05	0.1
2	01.06.2004	2.4	0.29	0.03	0.15	0.096	0.02	0.005	0.022	—	1.9	—	2.5	4.6	0.5	0.5	4.9	0.5	0.5	2.5	2.5	—	—	2.5	0.5
	03.07.2005	2.3	0.38	0.15	0.19	0.100	0.37	0.039	0.015	5.8	2.2	0.7	1.9	0.5	0.6	1.8	4.0	0.5	1.7	0.5	2.7	1.1	0.41	0.05	0.2
3	01.06.2003	0.5	0.50	0.26	0.17	0.140	0.05	0.046	0.031	—	0.5	—	2.5	0.5	2.4	0.5	1.2	3.0	2.5	2.5	—	—	2.5	0.5	
	01.06.2004	3.1	0.48	0.19	0.29	0.140	0.04	0.017	0.023	—	4.1	—	2.5	2.0	2.1	0.5	5.5	0.5	1.9	2.5	2.5	—	—	2.5	0.5
	11.07.2005	1.4	0.44	0.34	0.27	0.130	0.43	0.031	0.021	5.2	2.3	1.4	2.9	11.0	2.1	2.9	5.8	0.72	3.3	0.5	2.7	0.3	0.89	0.05	0.4
4	01.07.2007	1.6	0.39	1.47	0.95	0.173	0.30	0.177	0.011	5.8	5.0	—	4.8	2.0	5.1	2.3	4.7	0.4	5.1	0.5	0.5	0.15	0.85	0.5	1.1
	01.06.2003	1.3	0.85	0.22	0.02	0.028	0.13	0.004	0.013	—	0.5	—	2.5	0.5	0.5	0.5	0.5	0.5	0.5	0.5	0.5	—	—	2.5	0.5
5	01.06.2004	4.2	0.77	0.07	0.23	0.034	0.13	0.006	0.021	—	2.9	—	2.5	2.6	0.5	0.5	4.5	0.5	1.1	2.5	2.5	—	—	15.0	0.5
	11.07.2005	1.6	0.84	0.16	0.17	0.039	0.45	0.005	0.017	6.0	1.5	0.7	0.6	1.0	0.6	1.8	4.3	0.26	1.3	0.5	3.2	0.1	0.62	0.05	0.2
	05.07.2007	1.3	0.95	0.14	0.15	0.070	0.40	0.003	0.025	5.3	5.0	—	0.6	0.64	0.6	0.88	3.8	0.23	1.8	0.5	0.5	0.5	0.14	0.69	0.5
6	01.06.2003	1.6	0.70	0.82	0.35	0.130	0.05	0.030	0.120	—	4.4	—	2.5	1.7	1.5	1.8	1.2	0.5	2.4	2.5	2.5	—	—	2.5	0.5
	01.06.2004	3.8	0.55	0.20	0.24	0.130	0.03	0.091	0.085	—	3.1	—	2.5	3.4	0.5	0.5	5.8	0.5	1.2	2.5	2.5	—	—	2.5	0.5
7	03.07.2005	2.4	0.69	0.11	0.16	0.140	0.42	0.020	0.014	12.0	2.0	0.9	0.8	0.6	0.5	1.7	4.2	0.44	1.2	0.5	2.9	0.13	1.3	0.05	0.2
	01.06.2003	2.6	0.91	0.02	0.01	0.043	0.26	0.003	0.002	—	0.5	—	2.5	0.5	0.5	0.5	0.5	0.5	0.5	0.5	0.5	—	—	2.5	0.5
	01.06.2004	7.0	0.74	0.87	1.00	0.077	0.20	0.025	0.400	—	26.0	—	2.5	6.5	1.8	2.3	8.4	0.5	32.0	2.5	2.5	—	—	2.5	0.5
8	11.07.2005	4.5	0.73	0.20	0.21	0.084	0.59	0.008	0.017	6.6	2.1	0.8	0.4	0.9	0.7	2.1	4.4	0.39	1.8	0.5	3.3	0.23	1.1	4.4	0.2
	01.06.2004	2.7	0.82	0.06	0.16	0.063	0.30	0.003	0.025	—	0.5	—	2.5	1.7	0.5	0.5	1.9	0.5	1.5	2.5	2.5	—	—	84.0	0.5
	11.07.2005	3.7	0.96	0.25	0.21	0.064	0.65	0.011	0.025	7.9	2.5	0.9	0.4	0.9	0.8	2.9	5.0	0.38	1.8	0.5	3.0	0.22	1.2	0.05	0.2
9	27.07.2005	2.7	0.92	0.07	0.06	0.058	0.32	0.004	0.015	6.5	—	0.7	0.3	1.4	0.4	1.3	4.7	0.4	1.2	0.5	1.5	0.05	1.2	0.13	0.1
	01.06.2003	1.8	1.80	0.20	0.27	0.056	0.19	0.012	0.210	—	0.5	—	2.5	2.0	1.7	1.0	1.2	13.0	4.7	2.5	2.5	—	—	2.5	0.5
	01.06.2004	5.1	1.70	0.25	0.35	0.064	0.36	0.008	0.043	—	4.3	—	2.5	4.6	1.9	1.6	6.5	16.0	3.9	2.5	2.5	—	—	280.0	0.5
10	03.07.2005	2.2	1.70	0.11	0.14	0.062	0.40	0.001	0.015	19.0	1.5	3.6	2.1	0.5	1.4	1.4	3.8	17.0	3.4	3.2	2.6	1.2	3.3	0.05	0.2
	21.07.2006	4.3	2.10	0.29	0.23	0.086	0.71	0.006	0.086	16.0	4.4	1.4	2.5	10.0	1.5	1.6	9.1	16.0	5.2	6.2	0.5	1.9	—	0.15	0.24
	01.06.2004	3.0	0.72	0.46	0.34	0.190	0.28	0.019	0.370	—	4.9	—	2.5	4.6	3.9	2.3	6.8	4.0	5.8	2.5	2.5	—	—	2.5	0.5
11	01.06.2004	3.6	0.35	0.12	0.16	0.092	0.01	0.023	0.018	—	1.9	—	2.5	1.9	0.5	0.5	4.6	0.5	1.4	2.5	2.5	—	—	2.5	0.5
	03.07.2005	3.1	0.34	0.20	0.28	1.200	0.01	0.040	0.015	4.4	12.0	0.5	1.4	4.5	2.3	3.2	5.1	3.8	2.9	0.5	2.8	0.24	0.25	0.21	0.3
	30.06.2007	2.5	0.13	0.08	0.12	0.082	0.32	0.004	0.006	2.2	5.0	—	1.1	0.4	0.39	1.1	4.0	0.5	2.4	0.5	0.5	0.05	0.05	0.5	0.5
12	01.06.2003	1.9	0.91	0.66	0.31	0.110	0.09	0.190	0.016	—	0.5	—	2.5	2.4	1.5	0.5	1.6	0.5	2.2	2.5	2.5	—	—	2.5	0.5
	01.06.2004	5.6	0.92	0.54	1.10	1.000	1.60	0.022	0.039	—	17.0	—	2.5	0.5	1.8	1.6	3.0	1.4	2.6	2.5	2.5	—	—	2.5	0.5
	01.06.2004	0.9	0.64	1.10	0.54	0.077	0.42	0.350	0.920	—	7.5	—	2.5	14.0	2.4	5.1	57.0	0.5	13.0	2.5	2.5	—	—	2.5	0.5
13	01.06.2004	1.9	0.62	0.27	0.24	0.082	0.27	0.010	0.034	8.5	—	2.5	4.1	0.5	1.6	4.6	3.3	1.7	2.5	2.5	—	—	2.5	0.5	
	01.06.2004	1.9	0.62	0.27	0.24	0.082	0.27	0.010	0.034	8.5	—	2.5	4.1	0.5	1.6	4.6	3.3	1.7	2.5	2.5	—	—	2.5	0.5	

лом, для $\text{Fe}_{\text{общ}}$ характерны низкие значения, $\leq 1.5 \text{ мг/л}$ (табл. 2), при среднем значении 0.3 мг/л . Минимальные концентрации железа, 0.02 мг/л , выявлены в ставке Мендер в пробе в 2003 г., однако при более поздних опробованиях количество $\text{Fe}_{\text{общ}}$ оказалось существенно выше – 0.2 (2005 г.) и 0.87 мг/л (2004 г.). Максимальные значения $\text{Fe}_{\text{общ}}$ (1.47 мг/л) зафиксированы в ставке Колхозном в пробе в 2007 г. В целом, для поверхностных вод ставков характерно превышение $\text{Fe}_{\text{общ}}$ относительно ПДК по рыбоводным водоемам (0.1 мг/л) [16], на содержание элемента сильно влияет количество осадков и присутствие в водах органического вещества. В водоемах с высокой биологической продуктивностью наблюдается увеличение содержаний железа.

Концентрации лития во всех изученных водах невысокие – $2.2\text{--}19.0 \text{ мкг/л}$, они практически равны кларку элемента в водах зоны гипергенеза (рис. 5). Только в двух ставках – Мраморном и Мангуш – выявлены воды с концентрациями лития более чем на порядок выше – 19.0 и 12.0 мкг/л соответственно. Незначительное количество данных по литию не позволяет выявить зависимости его содержаний от минерализации.

Распределение стронция, рубидия и бария в водах ставков довольно хаотичное (рис. 5). Содержание Sr^{2+} варьирует от 0.12 до 2.10 мг/л при среднем значении 0.75 мг/л . Максимальные значения (2.1 мг/л) диагностированы в ставке Мраморном в пробе в 2006 г., а минимальные значения (0.13 мг/л) выявлены в ставке Кагульчик. Количество Rb^+ достаточно низкое и составляет сотые и тысячные доли миллиграмма на литр, что ниже, чем кларк элемента в водах зоны гипергенеза (0.001 мг/л) [21]. Наибольшими концентрациями характеризуются поверхностные воды ставка Мраморного (до 3.6 мкг/л), во всех остальных водах содержания Rb^+ примерно одинаковые. Повышенные содержания рубидия и стронция в водах ставка Мраморного, вероятно, обусловлены повышенной концентрацией элементов в водоемах толщах и их привносом подземными источниками.

Диапазон вариативности содержаний бария достаточно велик и составляет $0.01\text{--}1.6 \text{ мг/л}$ (табл. 2; рис. 5). В целом, количество Ba^{2+} в исследованных водах выше, чем кларк элемента в водах гипергенеза, – 0.02 мг/л . Для всех открытых водоемов выявлены значительные колебания содержания элемента в зависимости от года опробования. Наибольшие концентрации элемента отмечены в пробах в 2005 г. ($\sim 1.2 \text{ мг/л}$) и установлены в водах ставка Юркин, расположенного у г. Шедуевой.

Марганец обнаружен в концентрациях $\leq 0.35 \text{ мг/л}$ при среднем значении 0.04 мг/л . Наиболее высокие концентрации этого элемента обнаружены в

пробе, отобранный из водоема Верхнесадового, а самые низкие ($0.001\text{--}0.012 \text{ мг/л}$) выявлены в ставке Мраморном. Для остальных водоемов характерна высокая дисперсность в распределении элемента – $0.0011\text{--}0.35 \text{ мг/л}$. Основные факторы, определяющие значительную вариативность концентрации Mn^{2+} , – количество осадков, состав дренируемых пород, присутствие органического вещества и микроорганизмов.

Концентрации Ag , Co , Cr , Cu , Mo , Ni , Pb , Sb , Se , Sn , Ti , V и U относительно низки и составляют тысячные доли миллиграмма на литр. Содержание серебра в водоемах, как правило, примерно одинаковое и равно 0.0025 мг/л , исключение составляют только воды ставка Мраморного и Мендеря (A), в которых обнаружены аномально высокие концентрации Ag – до 0.28 и 0.084 мг/л соответственно.

Разброс концентраций кобальта велик и составляет $0.11\text{--}1.1 \text{ мкг/л}$, при этом содержания элемента во всех ставках, за исключением ставка Глубокий Яр и Кугульник, ниже, чем в водах зоны гипергенеза (рис. 5). Минимальные содержания кобальта выявлены в ставке Воронежском, расположенном на склоне г. Патиль, а максимальные – в ставке Колхозном. Во всех водах уровень содержания элемента ниже, чем его ПДК для рыбоводных водоемов (0.01 мг/л) [16].

По содержанию хрома исследованные открытые водоемы можно разделить на три группы: с концентрациями до 1.0 , $1.0\text{--}2.0$, и $>2.0 \text{ мкг/л}$. Наибольшая концентрация хрома (5.1 мкг/л) выявлена в водах ставка Верхнесадового, и источник элемента, вероятнее всего, – почвы. В целом, исключая воды ставка Верхнесадового, содержание хрома в воде ниже, чем кларк элемента в водах зоны гипергенеза [21]. Во всех исследованных водах содержание элемента ниже, чем его ПДК для рыбоводных водоемов (0.001 мг/л).

Содержание урана низкое – от 0.05 до 3.3 мкг/л при среднем значении 0.95 мкг/л . Максимальная концентрация элемента диагностирована в ставке Мраморном. В целом, уровень урана в исследованных водах ниже (за исключением ставка Мраморного), чем его кларк в водах зоны гипергенеза [21].

Распределение меди в водах открытых водоемов достаточно ровное, концентрации $\leq 10 \text{ мкг/л}$, исключение составляет только ставок Верхнесадовый, содержание элемента в котором почти в шесть раз выше (57 мкг/л). Значительное содержание меди в водах ставка Верхнесадового, более чем в 50 раз превышающее ПДК элемента для вод рыбоводных водоемов [16], обусловлено значительной антропогенной нагрузкой в этом районе.

Содержание свинца в исследованных водах в целом низкое – $0.4\text{--}11 \text{ мкг/л}$, соответствует клар-

Таблица 3. Геохимические ассоциации химических элементов в водоемах бассейна р. Бодрак

	Место отбора пробы	Геохимические ассоциации микрокомпонентов
1	Воронежский	$\text{Sn}_{6.3}\text{--Ba}_{6.2}\text{--Ag}_{5.8}\text{--Se}_4\text{--B}_{1.5}$
2	Ексиментий	$\text{Ba}_{9.9}\text{--Sn}_{6.3}\text{--Ag}_{4.4}\text{--Se}_{3.3}\text{--B}_{2.3}\text{--Sr}_{1.8}$
3	Колхозный	$\text{Ba}_{10.4}\text{--Sn}_5\text{--Ag}_{4.8}\text{--B}_{3.5}\text{--Se}_{3.3}\text{--Sr}_{2.4}\text{--V}_{1.9}\text{--Pb}_{1.8}\text{--As}_{1.5}\text{--Al}_{1.5}$
4	Ленинградский	$\text{Ag}_{15.6}\text{--Ba}_{14.1}\text{--Sn}_{5.3}\text{--Sr}_{4.6}\text{--Se}_{3.3}$
5	Мангушский	$\text{Ba}_{8.6}\text{--Sn}_{6.4}\text{--Ag}_{5.8}\text{--Se}_4\text{--Sr}_{3.5}\text{--B}_{3.2}\text{--Zn}_{2.1}$
6	Мендер (дальний)	$\text{Ba}_{17.9}\text{--Ag}_{10.8}\text{--Sn}_{6.7}\text{--Sr}_{4.3}\text{--Zn}_{4.1}\text{--Se}_4\text{--Ni}_{3.5}\text{--B}_{1.6}\text{--Al}_{1.5}$
7	Мендер (A)	$\text{Ag}_{145}\text{--Ba}_{24.2}\text{--Sn}_{6.7}\text{--Sr}_{4.8}\text{--Se}_{3.3}\text{--B}_{1.5}$
8	Мендер (B)	$\text{Ba}_{16.3}\text{--Sr}_5\text{--Sn}_{3.7}$
9	Мраморный	$\text{Ag}_{370}\text{--Ba}_{21.2}\text{--Sr}_{9.9}\text{--Se}_{7.9}\text{--Mo}_{7.7}\text{--Sn}_{4.9}\text{--Zn}_{2.6}\text{--Pb}_{1.9}\text{--B}_{1.6}$
10	Скалистое (у дороги)	$\text{Ba}_{14.3}\text{--Zn}_{10.9}\text{--Ag}_{8.6}\text{--Sn}_{6.1}\text{--Se}_{5.5}\text{--B}_{4.5}\text{--Sr}_{3.9}\text{--V}_{2.5}\text{--Pb}_{2.1}\text{--Mo}_2\text{--Ni}_{1.8}\text{--Sb}_{1.6}$
12	Широкий Яр	$\text{B}_{15.5}\text{--Sn}_{6.5}\text{--Ag}_{4.7}\text{--Se}_{3.3}\text{--Sr}_{1.9}$
14	Кагульчик	$\text{Ba}_{16.3}\text{--B}_{2.0}\text{--Ag}_{1.7}$
15	Юркин	$\text{Ba}_{43}\text{--B}_{13.3}\text{--Ag}_{8.6}\text{--Sn}_{6.1}\text{--Se}_{5.5}\text{--Sr}_{4.9}\text{--Al}_{2.5}\text{--Mn}_{2.1}\text{--Sb}_{1.6}$
18	Верхнесадовый	$\text{Pb}_{63.3}\text{--Zn}_{27.1}\text{--Ba}_{21.4}\text{--Cu}_{10.2}\text{--Ag}_{8.6}\text{--Mn}_{7.1}\text{--Sn}_{6.1}\text{--Se}_{5.5}\text{--Ni}_{3.9}\text{--Sr}_{3.5}\text{--Fe}_2\text{--Al}_{1.9}\text{--B}_{1.8}\text{--Cr}_{1.8}\text{--Sb}_{1.6}\text{--V}_{1.5}$
19	Глубокий Яр	$\text{Ba}_{13.8}\text{--Ag}_{8.6}\text{--Sn}_{6.1}\text{--Se}_{5.5}\text{--Sr}_{3.4}\text{--B}_2\text{--Pb}_{1.9}\text{--Mo}_{1.6}\text{--Sb}_{1.6}$

ку элемента в водах гипергенеза (рис. 5). Содержание Pb во всех исследованных водах, за исключением поверхностных вод ставка Верхнесадового (140 мкг/л), не превышает ПДК элемента для вод рыбохозяйственных водоемов [16].

С целью выявления природных и техногенных гидрохимических аномалий в водоемах бассейна р. Бодрак выделены геохимические ассоциации химических элементов (табл. 3). Для оценки интенсивности аномалии использован коэффициент концентрации: $K_c = C_i/C_\phi$, где C_i – средняя концентрация i -го химического элемента в выборке, C_ϕ – фоновая концентрация этого элемента. В качестве фоновых содержаний использованы средние концентрации химических элементов в водах зоны гипергенеза [11, 21]. При сравнении этих данных с естественной геохимической ассоциацией подземных вод изучаемой территории [8, 11]: Ba (2.0–58.2) – В (1.1–10.3) – Ag (3.2–8.6) – Sr (1.6–8.4) – Sn (3.4–4.9) – выявлено, что антропогенному влиянию подвержены ставки с номерами 3, 6, 9, 10, 15, 18, 19. Самым загрязненным из них оказался ставок на ул. Верхнесадовой в пос. Прохладном. Такой вывод сделан на основе анализа коэффициентов концентрации элементов ассоциации.

Стоит отметить, что в водах Мраморного ставка определены повышенные относительно природного фона концентрации молибдена, цинка и свинца. Это объясняется большим количеством отдыхающих в летний период, приезжающих непосредственно к водоему на частных машинах.

При этом проба воды на анализ была отобрана у самого берега.

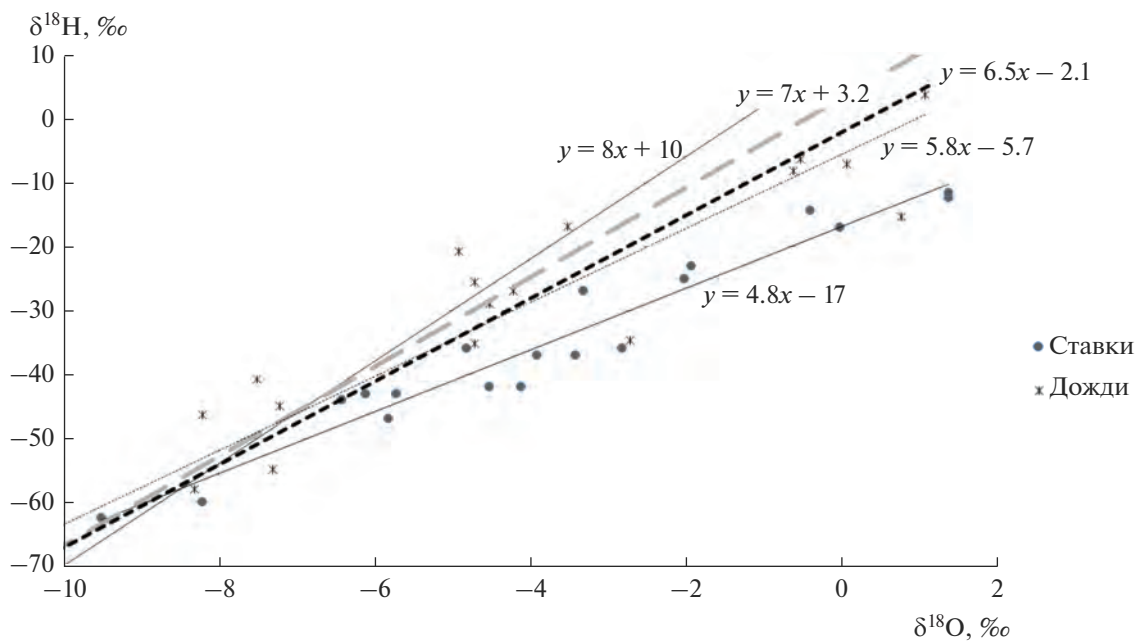
ИЗОТОПНЫЙ СОСТАВ

Для интерпретации данных изотопного состава использована линия Крейга – глобальная линия метеорных вод [20]: $\delta^2\text{H} = 8 \delta^{18}\text{O} + 10$. Изотопные данные выражают в относительных единицах: $\delta R (\%) = (R_{\text{пп}}/R_{\text{ст}} - 1) \times 1000$, R – атомные отношения изотопов водорода ($^2\text{H}/^1\text{H}$) или кислорода ($^{18}\text{O}/^{16}\text{O}$) в пробе ($R_{\text{пп}}$) и стандарте ($R_{\text{ст}}$); δ – отношение стабильных изотопов относительно стандарта, %. Величина δ показывает, насколько проба обеднена ($\delta < 0$) или обогащена ($\delta > 0$) тяжелым изотопом в сравнении со стандартом ($\delta = 0$).

В табл. 4 показаны концентрации стабильных изотопов ($\delta^{18}\text{O}$ и $\delta^2\text{H}$, %) в водах открытых водоемов бассейна р. Бодрак. Из таблицы видим, что изотопный состав одного и того же водоема может варьировать, что объясняется колебаниями температуры воздуха (при высокой температуре происходит испарение) и количества атмосферных осадков (которые имеют более легкий изотопный состав по сравнению с подземными водами). На рис. 6 результаты измерений представлены относительно глобальной линии метеорных вод. Два десятка образцов воды из ставков были отобраны в летний период в 2012, 2013, 2014 и 2018 гг.

Таблица 4. Стабильные изотопы в водах открытых водоемов бассейна р. Бодрак

Дата отбора	Место отбора пробы	Номер на схеме	$\delta^{18}\text{O}$, ‰	$\delta^2\text{H}$, ‰
2012 г., июль	Мангушский	5	-4.1	-42
	Воронежский	1	-2.8	-36
	Кагульчик	14	-4.5	-42
	Музачи (Музаран)	16	-3.4	-37
	Широкий Яр	12	-8.2	-60
	Мраморный	9	0	-17
2013 г., июль	Колхозный	3	-9.5	-62.4
	Мангушский	5	1.4	-12.3
	Воронежский	1	1.4	-11.5
2014 г., июнь	Воронежский	1	-6.1	-43
2014 г., июль	Воронежский	1	-5.7	-43
	Ексиментий	2	-5.8	-47
	Колхозный	3	-2	-25
	Мангушский	5	-6.4	-44
	Мраморный	9	-1.9	-23
	Аммонитовый	20	-4.8	-36
	Корабелка	13	-3.3	-27
2018 г., июль	Мраморный	9	-0.4	-14
	Воронежский	1	-3.9	-37

Рис. 6. Фигуративные точки открытых водоемов (ставков) на диаграмме $\delta^{18}\text{O}-\delta^2\text{H}$.

Ранее в [9] был детально изучен изотопный состав атмосферных осадков, собранных на территории крымской базы СПбГУ в с. Трудолюбовка в летний период. В результате этих исследований на основании корреляционных соотношений сезонных содержаний $\delta^{18}\text{O}$ и $\delta^2\text{H}$ в атмосферных осадках и внутригодовых изменений температуры приземного воздуха получена расчетная линия метеорных вод: $\delta^2\text{H} = 6.5 \delta^{18}\text{O} - 2.1$, которая также показана на диаграмме (рис. 6). Для расчета использовались средневзвешенные значения $\delta^{18}\text{O}$ и $\delta^2\text{H}$ осадков по данным метеостанции в пос. Почтовом с учетом высотного градиента. На диаграмме также приведена локальная линия метеорных вод для северного склона Крымских гор, рассчитанная на основе фактических данных [5].

Изотопный состав природных вод может меняться за счет фракционирования (разделения) изотопов водорода и кислорода под воздействием ряда факторов; основные из них на изучаемой территории – процессы испарения, которые имеют определенные закономерности [19]. Вероятно, в отдельных случаях возможен изотопный обмен с водовмещающими породами, но эти процессы не повсеместны, так как район расположен в области активного водообмена.

В результате фракционирования figurативные точки природных вод могут смещаться относительно линии метеорных вод, и их расположение в рамках диаграммы $\delta^{18}\text{O}$ – $\delta^2\text{H}$ позволяет сделать некоторые диагностические выводы (например, выявить основной сезон наполнения водоемов).

Изменения изотопного состава природных вод при испарении фиксируются снижением углового коэффициента (тангенса угла наклона) линий регрессии до 4–6 [19, 20]. Ставки заполняются сезонно дождевыми и паводковыми водами р. Бодрак, значительную роль при этом играют притоки подземных вод. Обычно к концу лета за счет процессов испарения вода в ставках обогащается тяжелыми изотопами по сравнению с водами исходного состава. Угловой коэффициент для ставков опробования 2012 и 2014 гг. составил 5.1. Если судить по испарительной линии ставков ($y = 4.8$, $x = 17$), в начальной стадии их наполнения вода имела следующие изотопные характеристики: $\delta^{18}\text{O} = -8.8\text{\textperthousand}$ и $\delta^2\text{H} = -59\text{\textperthousand}$ (по точке пересечения с расчетной линией метеорных вод), что соответствует весенним месяцам (март–апрель). В работе, посвященной оценке испарения по изотопным данным [19], предполагается, что за счет испарения пруды теряют до 70–90% годового объема.

ЗАКЛЮЧЕНИЕ

На фоне глобального изменения климата в крымском Предгорье в последние десятилетия наблюдается устойчивая тенденция повышения температуры приземного воздуха на 1.5–2.0% в год.

Изотопный состав воды указывает на то, что наполнение водоемов осуществляется, главным образом, в зимне–весенний период за счет атмосферных осадков, а летом значительная часть этих вод испаряется. Количество атмосферных осадков, выпавших за гидрологический год, и температура в летний период обуславливают минерализацию поверхностных вод.

Для ставков изучаемой территории подтверждилась естественная геохимическая ассоциация химических элементов (Ba–B–Ag–Sr–Sn), выявленная ранее для подземных вод бассейна р. Бодрак [8, 11]. Наиболее загрязненными оказались водоемы, на водосборной площади которых осуществляется антропогенная деятельность (у трассы в пос. Скалистом, ставки Верхнесадовый и Юркин, расположенные в пос. Прохладном, ставок Мендер – в верховьях Московского оврага). Ставки в верховьях бассейна р. Бодрак балочного типа – наиболее чистые (относительно фоновых значений).

Химический состав исследованных водоемов зависит от ряда факторов – метеоусловий года (температуры приземного воздуха, количества зимне–весенних атмосферных осадков), паводковых вод, геолого–гидрогеологических условий территории, обуславливающих притоки подземных вод, и антропогенных факторов.

При решении специальных водохозяйственных задач необходимо учитывать особенности формирования химического состава пресных вод, употребляемых в хозяйственно–питьевых целях, что придает исследованиям такого рода практическую ценность.

Для оценки качества поверхностных вод Горного Крыма по гидрохимическим показателям в качестве фоновых значений предлагаем использовать химический состав водоемов, расположенных в верхнем течении р. Бодрак.

Авторы благодарят Г.М. Ельцову и Э.М. Праволова (ЛИГФ СПбГУ) и И.В. Токарева за измерение изотопного состава воды.

СПИСОК ЛИТЕРАТУРЫ

1. Атлас. Автономная Республика Крым / Под ред. Н.В. Багрова. Л.Г. Руденко. Киев; Симферополь: Ин-т географии НАН Украины, 2003. 80 с.
2. Багрова Л.А., Боков В.А., Багров Н.В. География Крыма. Киев: Лыбидь, 2001. 302 с.
3. Барабошкина Т.А., Березкин В.Ю. Эколого–геологическое картографирование бассейна р. Бодрак

- (Крымско-Кавказская горная зона) // LAP Lambert Academic Publishing. 2011. 152 с.
4. Геологическая история Бахчисарайского района Крыма (учебное пособие по Крымской практике) / Под ред. А.М. Никишина. М.: Изд-во Московского ун-та, 2006. 60 с.
 5. Дублянский Ю.В., Климчук А.Б., Амеличев Г.Н., Токарев С.В., Шнётль К. Изотопный состав атмосферных осадков и карстовых источников северо-западного склона Крымских гор // Спелеология и карстология. № 9. Симферополь, 2012. С. 14–21.
 6. Жук В.О., Ергина Е.И. Анализ современной метеорологической ситуации в предгорном Крыму // Уч. зап. Крымского федерального ун-та. География. Геология. 2018. Т. 4 (70). № 2. С. 227–241.
 7. Каюкова Е.П. Гидрохимические особенности атмосферных осадков полигона Крымской геологической практики СПбГУ // Вестн. СпбГУ. Сер. 7. Геология. География. 2011. Вып. 2. С. 26–43.
 8. Каюкова Е.П. Оценка подземного стока как элемента водного баланса при комплексных гидро-геологических исследованиях (северо-западные склоны Крымских гор). Дис. ... канд. геол.-минералог. наук. СПб.: Санкт-Петербургский горный ун-т, 2018. 186 с.
 9. Каюкова Е.П. Формирование изотопного состава природных вод Горного Крыма под влиянием естественных процессов // Вестн. СпбГУ. Сер. 7. Геология, география. 2016. Вып. 2. С. 11–26.
 10. Каюкова Е.П., Чарыкова М.В. Особенности химического состава подземных и поверхностных вод полигона Крымской учебной практики геологического факультета СПбГУ // Вестн. СпбГУ. Сер. 7. Геология, география. 2010. Вып. 3. С. 29–47.
 11. Каюкова Е.П., Барабошкина Т.А. Филимонова Е.А. Гидрохимические особенности подземных вод бассейна реки Бодрак (Качинское поднятие Горного Крыма) // Вестн. Моск. ун-та. Сер. 4. Геология. 2020. № 4. С. 55–63.
 12. Каюкова Е.П., Филимонова Е.А. Качество пресных подземных вод Горного Крыма (долина реки Бодрак) // Вестн. Моск. ун-та. Сер. 4, Геология. 2022. Номер 1. С. 79–88.
 13. Маршруты Крымской учебной практики по Общей геологии: учебное пособие / Под ред. Р.В. Веселовского, М.А. Романовского, Н.И. Косевич, А. Гущина. М.: КДУ, Добросвет, 2021. 215
 14. Никитин М.Ю., Болотов С.Н. Геологическое строение Крымского учебного полигона МГУ. Ч. 2. Учебное пособие. М.: Изд-во МГУ, 2007. 110 с.
 15. Погода и Климат. Справочно-информационный портал. <http://www.pogodaiklimat.ru/> (дата обращения: 4.12.2021)
 16. Приказ Минсельхоза России от 13.12.2016 № 552 (ред. от 10.03.2020) “Об утверждении нормативов качества воды водных объектов рыбохозяйственного значения, в том числе нормативов предельно допустимых концентраций вредных веществ в водах водных объектов рыбохозяйственного значения” (Зарегистрировано в Минюсте России 13.01.2017 № 45203).
 17. Санитарные правила и нормы СанПиН 1.2.3685-21 “Гигиенические нормативы и требования к обеспечению безопасности и (или) безвредности для человека факторов среды обитания”.
 18. Семенова В.М. Гидрогеологические условия междуречья Бодрак и Кача // Очерки геологии Крыма. Тр. Крымского геол. науч.-уч. центра. М.: Геол. фак. МГУ, 1997. Вып. 1. С. 120–130.
 19. Токарев И.В., Амеличев Г.Н. Оценка испарения по данным об изотопном составе воды (^{2}H , ^{18}O) // Уч. зап. КФУ. География. Геология. 2020. Т. 6 (72). № 2. С. 294–319.
 20. Ферронский В.И., Поляков В.А. Изотопы гидросфера земли. М.: Науч. мир, 2009. 632 с.
 21. Шварцев С.Л. Гидрохимия зоны гипергенеза. М.: Недра, 1998. 366 с.
 22. Шумигина А.Ю., Цыпин М.А. и др. Эколо-гидрохимический мониторинг природных вод Крымского учебного полигона // Школа экологической геологии и рационального недропользования. Материалы конф. СПб., 2006. С. 300–301.
 23. Юдин В.В. Геодинамика Крыма. Симферополь: ДИАЙПИ, 2011. 336 с.